

{plik wk10.tex 14.12.2005, popr. 18.12. i 06.01.2006}

## 10 Wizualizacja wielozmiennych danych

1. Wizualizacja Umat i Umati w sieciach Kohonena, por. par.7.4.1 (somtoolbox2).
2. Scatterplot matrix.
3. Metoda Sammona (somtoolbox2).
4. GTM, Generative Topographic Mapping (Netlab).
5. Parallel Coordinate plot, Wykres we współrzędnych równoległych (CSToolbox, funkcja csparrallel, modyfikacja: paraIris.m na dysku Z, wymaga modyfikacji do indywidualnych danych).
6. Kanoniczne funkcje dyskryminacyjne: funkcje cand2 i candK na dysku Z, wymagają adaptacji do indywidualnych danych.
7. Neuroscale (Netlab) – nie omawiamy.

Wiele przykładów wizualizacji wielozmiennych danych można zobaczyć w modułach demonstracyjnych SOM\_DEMO1, SOM\_DEMO2, SOM\_DEMO3 i SOM\_DEMO4 pakietu Somtoolbox2. I tak:

**SOM\_DEMO1 – Basic properties.** Pokazuje siatki mapy, trenowanie, znajdowanie BMU (best matching unit jest to najbliższy prototyp do danego punktu), określanie som\_quality, czyli jakość reprezentacji przez wskaźniki  $q_e$  – quantization error, i  $q_t$  – topological error.

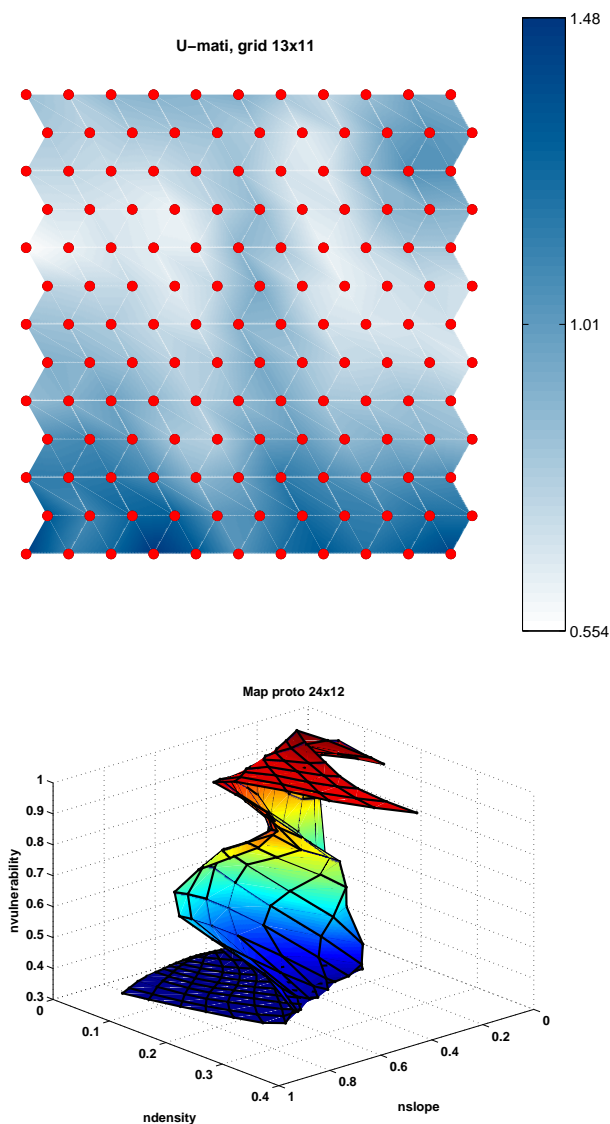
**SOM\_DEMO2 – Basic usage of SOM Toolbox.** Funkcje: som\_make, som\_show, som\_show\_add, som\_grid, som\_autolabel, som\_hits.

**SOM\_DEMO3 – Visualization, part I .** Funkcje: som\_show, som\_grid, som\_show\_add, som\_cplane, som\_pieplane, som\_barplane, som\_plotplane, pcaproj, cca (Curvilinear Component Analysis, nieliniowa PCA), sammon, som\_umat, som\_hits.

**SOM\_DEMO4 – Visualisation, part II .** Wyodrębnianie skupień: k-means, scatterplot-matrix na danych i prototypach, kmeans\_clusters (ile jest skupień), modelowanie rozkładu danych za pomocą mieszanin rozkładów gaussowskich, algorytmy LVQ1 i LVQ3 znajdujące prototypy zadeklarowanych klas.

## 10.1 Metoda Umat i Umati

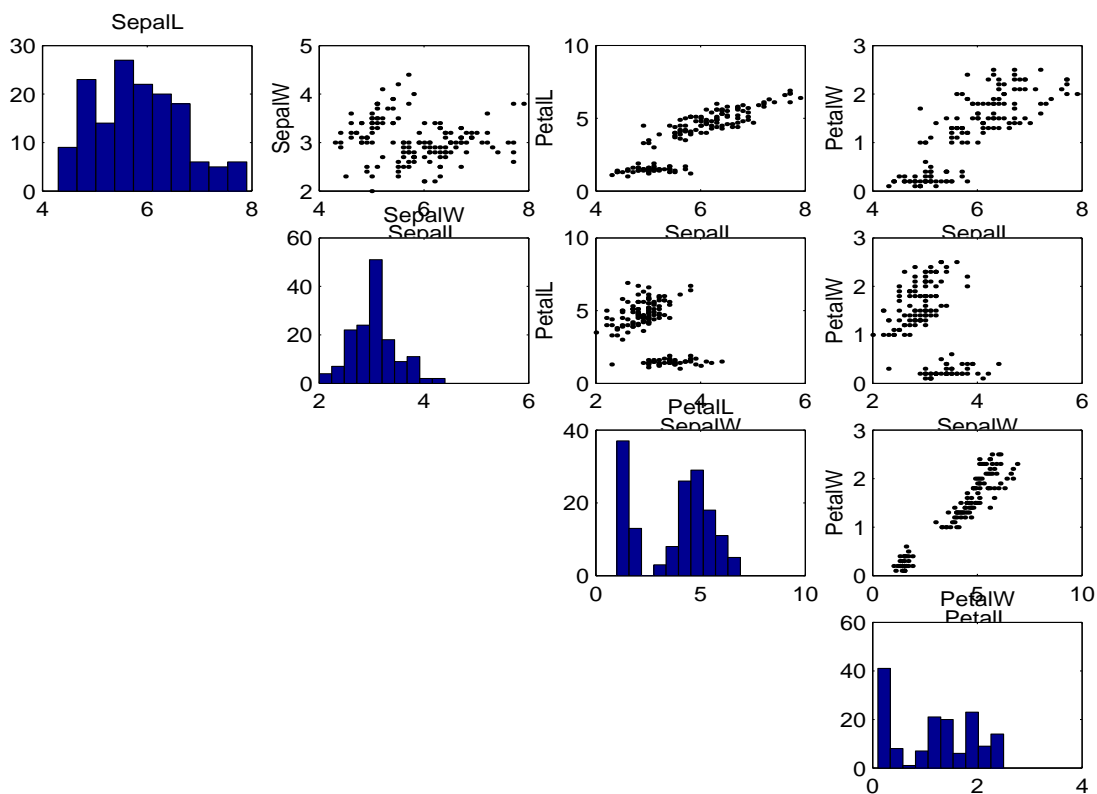
Została opisane w sekcji 9 poświęconej mapom Kohonena).



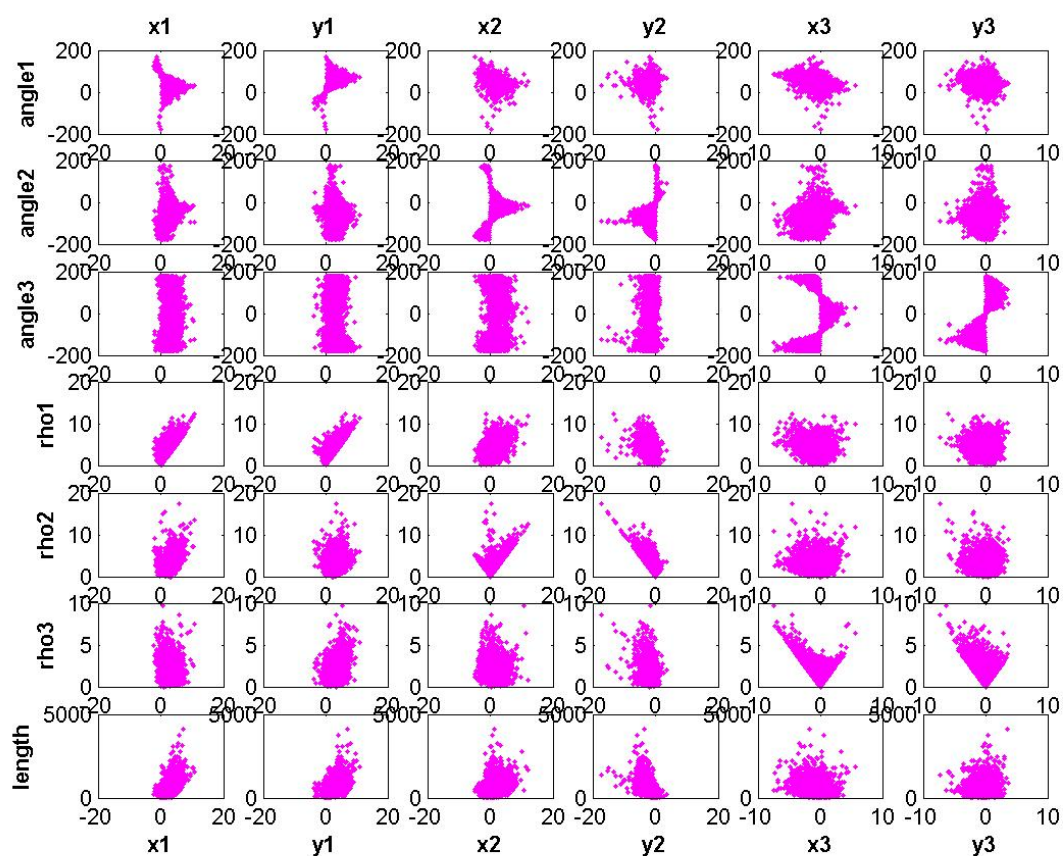
Rysunek 10.1: **Góra**: Mapa Kohonena otrzymana przez funkcję `som.show` z argumentem 'umati'. Pokazuje za pomocą palety kolorów odległości między prototypami danych. Zaznaczone punkty odpowiadają wektorom referencyjnym na mapie. **Dół**: Dane 'Erosion'. Lokalizacja prototypów w 3D z zaznaczonymi połączeniami wynikającymi z sąsiedztwa na mapie Kohonena. Uczenie rozpoczęto z regularnej siatki prototypów ułożonych na płaszczyźnie  $\langle PC1, PC2 \rangle$ . Pliki `gtmPara5/map2.eps` i Plik `gtmPara5/koh1b.eps`

## 10.2 Wykresy typu 'scatterplot-matrix'

```
% z som_grid
% wykres typu scatterplot-matrix
% Here are the histograms and scatter plots of the four variables.
fh1=figure; k=1;
for i=1:4,
    for j=1:4,
        if i==j,
            subplot(4,4,k); hist(sD.data(:,i)); title(sD.comp_names{i})
        elseif i<j,
            subplot(4,4,k);
            plot(sD.data(:,i),sD.data(:,j),'k.')
            xlabel(sD.comp_names{i})
            ylabel(sD.comp_names{j})
        end
        k=k+1;
    end
end;
drawnow;
```



Rysunek 10.2: Wykres typu scatterplot-matrix dla 4 cech danych iris, otrzymany za pomocą skryptu job\_grid.m, plik gtmpara5/fig9\_3.eps



Rysunek 10.3: Wykres typu scatterplot-matrix dla danych 'geny', pokazujący zależności między wybranymi parami cech. Tablica danych jest rozmiaru  $3300 \times 13$ ; wiersze odpowiadają genom drożdży. Każdy gen jest scharakteryzowany  $d = 13$ -oma cechami. plik `scatmgmj.jpg`

### 10.3 Odwzorowanie Sammona

#### Omówienie algorytmu odwzorowania Sammona

Mamy  $n$  wektorów  $d$ -wymiarowych  $\mathbf{x}_i = (x_{i1}, \dots, x_{id})^T$ , ( $i = 1, 2, \dots, n$ ), interpretowanych jako zbiór punktów leżących w przestrzeni Euklidesowej  $R^d$ . Punkty te chcemy odwzorować do przestrzeni  $M$ -wymiarowej ( $M = 2, 3$ ); odpowiednie odwzorowania (rzuty) będziemy oznaczać jako  $\mathbf{y}_i = (y_{i1}, \dots, y_{iM})^T$ . Tak więc dla każdego punktu  $\mathbf{x}_i$  należy znaleźć jego rzut  $\mathbf{y}_i$ :

$$\mathbf{x}_i \rightarrow \mathbf{y}_i, \quad \text{gdzie } \mathbf{x}_i \in R^d, \mathbf{y}_i \in R^M.$$

W obu przestrzeniach (tj.  $R^d$  i  $R^M$ ) określamy pojęcie odległości  $d(i, j) = d_{ij}$  między punktami o numerze  $i$  oraz  $j$  leżącymi w tej przestrzeni. Do określenia odległości można zastosować dowolną metrykę, w szczególności euklidesową. W przypadku przyjęcia tej ostatniej, odległość między dwoma punktami definiuje się jako pierwiastek kwadratowy z sumy kwadratów różnic liczonych po wszystkich składowych tych punktów.

Wprowadźmy następujące oznaczenia:

$$D_{ij}^* = D(\mathbf{x}_i, \mathbf{x}_j) \text{ – odległości między punktami w przestrzeni } R^d,$$

$$D_{ij} = D(\mathbf{y}_i, \mathbf{y}_j) \text{ – odległości między odpowiednimi rzutami w przestrzeni } R^M,$$

gdzie

$$D_{ij} = \sqrt{\sum_{s=1}^M (y_{is} - y_{js})^2}, \quad D_{ij}^* = \sqrt{\sum_{s=1}^d (x_{is} - x_{js})^2}.$$

Należy tak wyznaczyć punkty  $\mathbf{y}_i$ , aby zminimalizować funkcję błędu  $E$  (zdefiniowaną w postaci  $M * n$  niewiadomych  $y_{is}$

$$E = \frac{1}{c} \sum_{i < j}^n |D_{ij}^* - D_{ij}|^2 / D_{ij}^*, \quad \text{gdzie } c = \sum_{i < j}^n D_{ij}^*. \quad (10.1)$$

W minimalizacji funkcji błędu  $E$  określonej wzorem (10.1) Sammon zastosował iteracyjną metodę optymalizacyjną Newtona, uproszczoną do postaci

$$y_{pq}(k+1) = y_{pq}(k) - \eta \Delta_{pq}(k), \quad (10.2)$$

w której  $\eta$  jest współczynnikiem uczenia (najczęściej z przedziału  $[0.3; 0.4]$ ),  $k$  oznacza numer iteracji, natomiast  $\Delta_{pq}(k)$  jest ilorazem odpowiedniej składowej gradientu i diagonalnego składnika hesjanu – wyznaczonych w  $k$ -tej iteracji:

$$\Delta_{pq}(k) = \frac{\delta E}{\delta y_{pq}} / \left| \frac{\delta^2 E}{\delta^2 y_{pq}^2} \right|$$

Przy definicji funkcji błędu w postaci (10.1) odpowiednie składowe gradientu i hesjanu są dane wzorami: (wzory przepisane z książki: Osowski [3], str 267–268, na odpowiedzialność autora książki)

$$\frac{\delta E}{\delta y_{pq}} = -\frac{2}{c} \sum_{j=1, j \neq p}^n \left[ \frac{D_{pj}^* - D_{pj}}{D_{pj} D_{pj}^*} \right] [y_{pq} - y_{jq}], \quad (10.3)$$

$$\frac{\delta^2 E}{\delta^2 y_{pq}^2} = -\frac{2}{c} \sum_{j=1, j \neq p}^n \frac{1}{D_{pj} D_{pj}^*} \left[ (D_{pj}^* - D_{pj}) - \frac{(y_{pq} - y_{jq})^2}{D_{pj}} \left( 1 + \frac{D_{pj}^* - D_{pj}}{D_{pj}} \right) \right]. \quad (10.4)$$

Odwzorowanie Sammona jest odwzorowaniem nieliniowym punktów z przestrzeni  $R^d$  na odpowiednie ich 'rzuty', tj. punkty leżące w przestrzeni  $R^M$ .

### Przykład obliczeń na danych 'iris'

Obliczenia związane z odwzorowaniem Sammona można wykonać za pomocą funkcji `sammon` znajdującej się w pakiecie `somb2`. Odwzorowaniu mogą podlegać zarówno wektory danych zapamiętane w tablicy `D` lub w strukturze `sD` typu `data_struct`, jak również wektory wagowe (prototypy) – zapamiętane w strukturze `som_struct` i odgrywające rolę reprezentantów całego zbioru danych.

Przykładowe wywołania procedury:

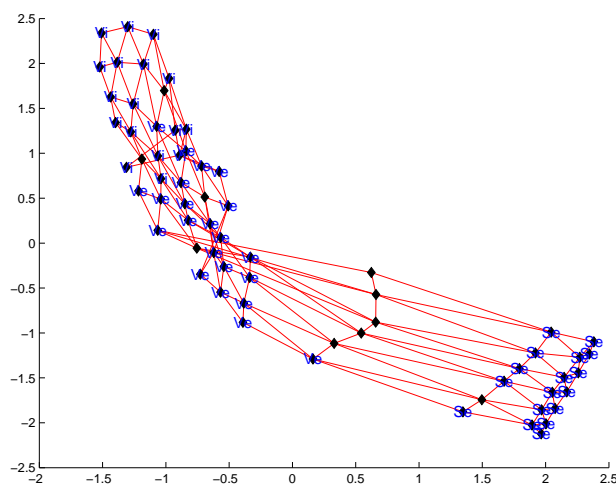
```
Y = sammon(D,2); % projection to 2-dim space,
Y = sammon(sM,3); % projects the codebook vectors,
Y = sammon(sM,3,[],[],[],Md); % uses distance matrix Md
```

Po obliczeniu tablicy projekcji `Y` może nastąpić wizualizacja graficzna przetransformowanych danych znajdujących się w tablicy `Y` np. za pomocą zwykłej funkcji `plot` lub też za pomocą funkcji `som_grid`.

Przykładowe wywołanie funkcji `som_grid`:

```
som_grid(sM,'Coord',Y); lub też, z bardziej wyspecyfikowanymi parametrami:
som_grid(sM,'Coord',sammon(sM,2),'LineColor','r','Label',sM.labels, ...
        'labelColor','b','Marker','d','MarkerColor','k')
```

Otrzymamy wtedy rysunek 10.4. Rysunek ten pokazuje nie tylko odwzorowane punkty (które w tym przypadku są wektorami kodowymi danych) ale również sieć powiązań między tymi punktami. Sieć ta odpowiada ułożeniu punktów na mapie Kohonena.



Rysunek 10.4: Wektory kodowe (prototypy) danych 'Iris' odwzorowane metodą Sammona na dwu-wymiarową płaszczyznę  $\langle y_1, y_2 \rangle$ . Wektory kodowe zostały obliczone ze znormalizowanych danych. Wykres wykonano za pomocą funkcji `som_grid`; powiązania między punktami odpowiadają sąsiedztwu między wektorami referencyjnymi na mapie Kohonena, plik `samm2.eps`

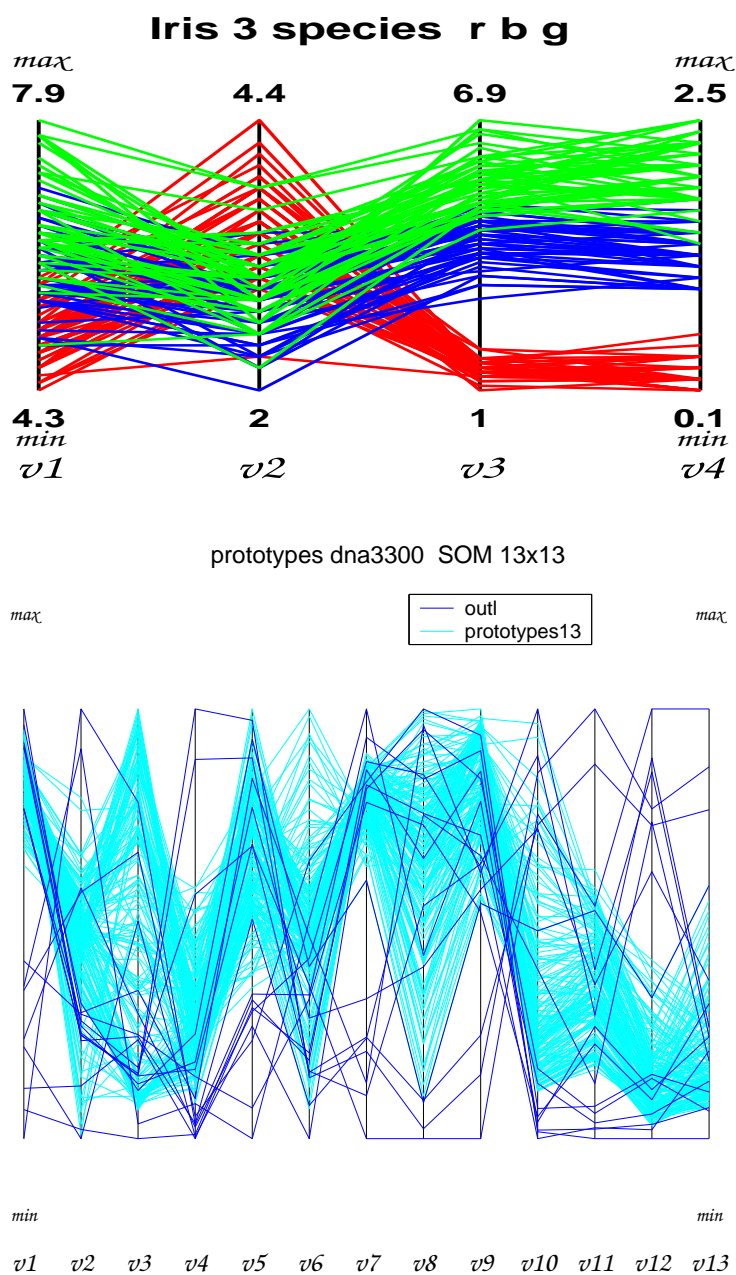
Na rysunku 10.4 obserwujemy zjawisko *skręcania się* siatki powiązań między punktami. Obraz taki jest dość częstym zjawiskiem przy stosowaniu odwzorowań Sammona. Wynika on z trudności otrzymania obrazu dwuwymiarowego który ma pokazać odległości między punktami w przestrzeni wielowymiarowej, a więc w przestrzeni o nieporównywalnie bogatszych możliwościach.

Czasami pomaga wystartowanie z innej mapy, np. uzyskanej z innego przybliżenia początkowego przy uczeniu mapy, lub innego układu neuronów na mapie.

A oto skrypty, za pomocą których wykonano rysunek 10.4: Skrypty te wykonywano na danych `iris.data` znajdujących się w pakiecie `somtb2`. Każdy wektor danych ma tam przypisaną długą etykietę (np. 'Iris Versicolor'). W skrypcie etykiety poszczególnych kwiatów (wektorów danych) uległy skróceniu do dwu-literowych.

```
%% ----- job_samm.m -----
% make the data, shorten labels, make the SOM
sD = som_read_data('iris.data'); sD = som_normalize(sD,'var');
sD = som_label(sD, 'replace'. [1:50], 'Se');
sD = som_label(sD, 'replace'. [51:100], 'Ve');
sD = som_label(sD, 'replace'. [101:150], 'Vi');
sM = som_make(sD); sM = som_autolabel(sM,sD,'vote');
%sM = som_make(sD); sM = som_autolabel(sM,sD,'vote');
% visualization of codebook vectors by Sammon projection
% Ps=sammon(sM,3);
som_grid(sM,'Coord',sammon(sM,3),'marker','none',...
         'Label',sM.labels,'labelcolor','k');
%----- end job_samm.m -----
```

## 10.4 Wykresy typu 'parallel coordinate plot'



Rysunek 10.5: Parallel coordinate plot, **gó**ra: dane 'Iris', r(red)- Setosa, b(blue) - Versicolor, g(green) - Virginica; **dół**: dane 'geny', pokazano odstające obserwacje na tle  $13 \times 13$  prototypów, pliki `paraIris.eps` i `para13ss.eps`

Wykresy te zostały sporządzone funkcją `para.m`, modyfikacją analogicznej funkcji znajdującej się w pakiecie CSTool in Matlab [8] (CS – Computational Statistics).



## 10.5 GTM, Generative Topographic Mapping

### 10.5.1 Wprowadzenie

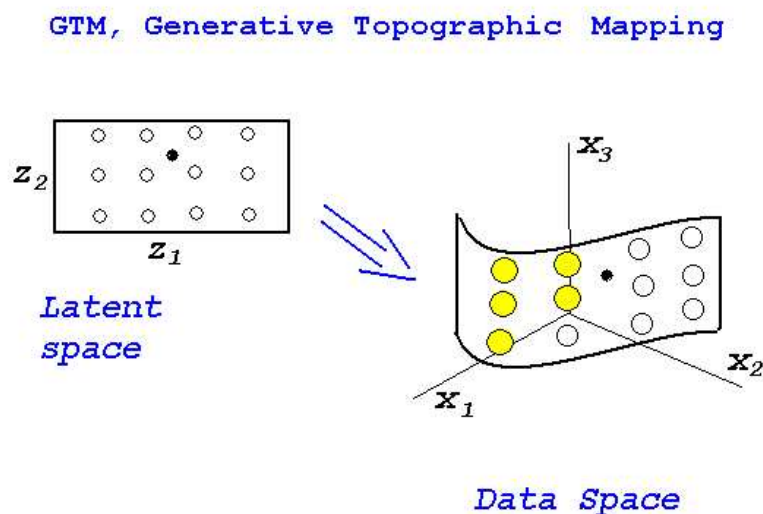
Metoda map Kohonena, mimo iż szeroko stosowana w praktyce, spotyka się z następującymi krytycznymi uwagami (por. [6], str. 243):

1. Brak funkcji kosztu.
2. Brak ogólnego dowodu o zbieżności stosowanego algorytmu uczenia.
3. Brak teoretycznych podstaw co do wyboru parametrów  $\eta$  i  $\mathcal{N}_c$  potrzebnych przy trenowaniu sieci.
4. Brak modelu opisującego gęstość rozkładu rozważanych danych.

Metoda GTM, zaproponowana przez Bishopa i Svensena ([5], [6]) nie podlega tym krytycznym uwagom.

Idea metody GTM (Generative Topographic Mapping) jest przedstawiona na rysunku 10.6.

Obserwowane przez nas dane, czyli zmienne (na rysunku zmienne  $x_1, x_2, x_3$ ) powstały jako wynik generowania przez zmienne ukryte (na rysunku zmienne  $z_1, z_2$ ) z dodatkiem pewnego błędu powstałego przy mierzeniu tych cech, ewntl. dodatkowego błędu wynikającego z nieuwzględnienia wszystkich czynników ukrytych (pominięcia niektórych czynników mających znaczny udział przy generowaniu obserwowanych zmiennych).



Rysunek 10.6: Idea metody GTM. Obserwowane przez nas dane 'x' – ułożone w przestrzeni danych  $\mathcal{D}$  (DATA SPACE) o  $d$  wymiarach – zostały wygenerowane przez nieobserwowane przez nas zmienne 'z' tworzące tzw. przestrzeń zmiennych ukrytych  $\mathcal{L}$  (LATENT SPACE) o  $q$  wymiarach,  $q < d$ . Na rysunku  $d = 3$  a  $q = 2$ . Punkty  $\mathbf{x}$ , z dokładnością do błędu pomiaru, leżą na  $q$ -wymiarowej nieliniowej rozmaitości zanurzonej w  $R^d$ . Naszym celem jest znalezienie odwzorowania  $\mathbf{z} \rightarrow \mathbf{x}$ . plik sub10/gtmIdea1reduced.ps

Tak więc mamy przestrzeń zmiennych obserwowanych  $\mathcal{D}$  – DATA SPACE i przestrzeń zmiennych ukrytych  $\mathcal{L}$  – LATENT SPACE – co pokazano na rysunku. Punkty należące do przestrzeni danych oznaczamy symbolem  $\mathbf{x}$  – są one  $d$ -wymiarowe:  $\mathbf{x} \in R^d$ . Punkty należące do przestrzeni zmiennych ukrytych oznaczamy symbolem  $\mathbf{z}$ ; są one  $q$ -wymiarowe:  $\mathbf{z} \in R^q$ , przy czym na ogół  $q \ll d$ .

Najbardziej interesujące są przypadki, gdy  $q = 1$  lub  $q = 2$  (te przypadki są zaimplementowane w Netlabie).

Metoda GTM konstruuje odwzorowanie

$$\mathbf{y} = \mathbf{y}(\mathbf{z}; \mathbf{W}, \sigma) \quad (10.5)$$

mapujące punkty z przestrzeni  $\mathcal{L}$  na punkty w przestrzeni  $\mathcal{D}$ . Odwzorowanie (10.5) jest charakteryzowane parametrami  $\mathbf{W}$  i  $\sigma^{-1}$ ; wynikają one z modelu probabilistycznego opisującego rozkłady gęstości  $p(\mathbf{z})$ ,  $\mathbf{z} \in \mathcal{L}$ ,  $p(\mathbf{x}|\mathbf{z}, \mathbf{W})$ ,  $\mathbf{x} \in \mathcal{D}$ , oraz  $p(\mathbf{x}|\mathbf{W}, \sigma)$  i pewnych dodatkowych założeń, przyjętych przez autorów metody.

### 10.5.2 Model probabilistyczny

Korzystamy z modelu Bayesowskiego opisującego 'przyczyny' i 'skutki'. Przyczyną są wartości 'z' zmiennych ukrytych. Skutkami są obserwowane wartości 'x'.

Pytanie: jeśli zaobserwowaliśmy daną wartość 'x', to jak możemy dotrzeć do wartości 'z' które były 'przyczyną' zaobserwowanej danej wartości 'x'.

Odpowiadamy na to pytanie, wyznaczając odpowiednie prawdopodobieństwa (funkcje gęstości) *à priori* i *à posteriori*.

Latent space  $\mathcal{L}$ ,  $dim = q$

$p(\mathbf{z})$  gęstość prawdopodobieństwa

Przyjmując r. dyskretny z  $M$  punktów:

$$p(\mathbf{z}) = \frac{1}{M} \sum_{j=1}^M \delta(\mathbf{z} - \mathbf{z}_j), \quad (*)$$

gdzie  $\delta(\cdot)$  jest funkcją Diraca

Data space  $\mathcal{D}$ ,  $dim = d$

$p(\mathbf{x}|\mathbf{z}, \mathbf{W}, \sigma) \sim \mathcal{N}(\mathbf{y}(\mathbf{z}; \mathbf{W}), \sigma^2)$  – r. warunkowy

Znając  $p(\mathbf{z})$ , możemy wycalkować (integrating out) zmienną 'z' i otrzymać rozkład bezwarunkowy

$$p(\mathbf{x}; \mathbf{W}, \sigma) = \int p(\mathbf{x}|\mathbf{z}, \mathbf{W}, \sigma)p(\mathbf{z})d\mathbf{z}$$

Dla  $p(\mathbf{z}) = \frac{1}{M} \sum_{j=1}^M \delta(\mathbf{z} - \mathbf{z}_j)$ , znając  $\mathbf{z}_1, \dots, \mathbf{z}_M$ , daje to

$$p(\mathbf{x}; \mathbf{W}, \sigma) = \frac{1}{M} \sum_{j=1}^M p(\mathbf{x}|\mathbf{z}_j, \mathbf{W}, \sigma) \quad (**)$$

Rozkład (\*\*) może być uważany jako rozkład mieszaniny o  $M$  składnikach gaussowskich z izotropową wariancją.

Znając estymatory  $\mathbf{W}$  i  $\sigma$  potrafimy obliczyć

responsibilities  $R_{jn} = P(j|\mathbf{x}_n, \mathbf{W}, \sigma)$  czyli p-stwa *à posteriori*

Estymacja parametrów met. najw. wiarygodności

Mając  $N$  punktów próbkowych  $\mathbf{x}_1, \dots, \mathbf{x}_N$  możemy napisać *funkcję wiarygodności* (complete Likelihood):

$$\mathcal{L}(\mathbf{W}, \sigma) = \sum_{n=1}^N \ln \left\{ \frac{1}{M} \sum_{j=1}^M p(\mathbf{x}_n|\mathbf{z}_j, \mathbf{W}, \sigma) \right\}$$

Stosujemy algorytm EM dla mieszanin

<sup>1</sup>odwzorowanie (10.5) może posiadać dalsze parametry, wynikające ze specyfikacji przyjętego modelu

Aby powiedzieć coś bardziej detalicznego o algorytmie, należy wyspecyfikować kształt funkcji mapującej  $\mathbf{z} \rightarrow \mathbf{x}$ . Funkcja ta będzie oznaczana jako  $\mathbf{y}(\mathbf{z}, \mathbf{W})$ .

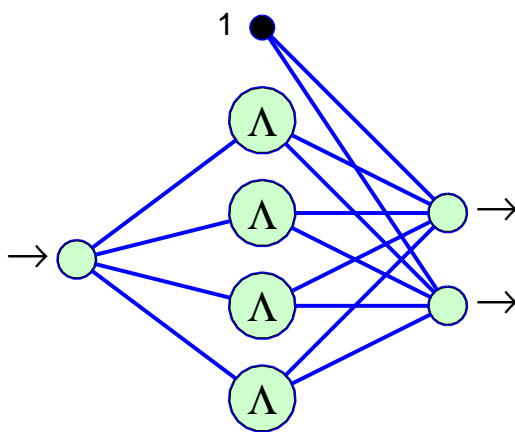
Funkcja mapująca

$$\mathbf{y}(\mathbf{z}; \mathbf{W}) = \mathbf{W} \cdot \underline{\mathbf{G}}(\mathbf{z}),$$

gdzie  $\mathbf{W} = \mathbf{W}_{d \times (H+1)} = \begin{bmatrix} \mathbf{w}_1^T \\ \vdots \\ \mathbf{w}_d^T \end{bmatrix}, \quad \mathbf{w}_k = [w_{k1}, \dots, w_{k,H+1}]^T, \quad k = 1, \dots, d$

$\underline{\mathbf{G}}(\mathbf{z}) = [G_1(\mathbf{z}), \dots, G_H(\mathbf{z}), \{G_0 \equiv 1\}]^T$  są  $H$  ustalonymi radialnymi funkcjami bazowymi + ( $G_0 \equiv 1$ )

RBF network



d inputs – H hidden – c outputs

Rysunek 10.7 pokazuje przykładową sieć RBF służącą do odwzorowania punktów  $\mathbf{z}$  leżących w przestrzeni zmiennych ukrytych LATENT SPACE – na punkty  $\mathbf{x}$  leżące w przestrzeni obserwowanych danych  $\mathcal{D}$ .

Architektura sieci:

$$q \text{ inputs} \rightarrow H \text{ hidden} \rightarrow d \text{ outputs}$$

Przyjęto:  $d = 1, H = 4, d = 2$ .

Warstwa wejściowa i ukryta zawierają po jednym dodatkowym elemencie, odpowiadającym obciążeniu (bias-owi) funkcji wagowych.

Z założenia przestrzeń  $\mathcal{L}$  jest reprezentowana przez zbiór  $\{\mathbf{z}_j\}$  zawierający  $M$  wartości dyskretne. W takiej sytuacji warstwa ukryta sieci RBF - przy znanych wagach  $\mathbf{W}$  - oblicza aktywacje dla każdego punktu  $\mathbf{z}_j$ :

Rysunek 10.7: Sieć RBF służąca do odwzorowania punktów  $\mathbf{z} \in \mathcal{L}$  na punkty  $\mathbf{x} \in \mathcal{D}$ . Na wejściu mamy wartości  $\mathbf{z}$ , na wyjściu – wartości  $\mathbf{y}(\mathbf{z}; \mathbf{W})$ . Na rysunku przyjęto  $q = 1, H = 4, D = 2$ . plik sub10/rbfnet2.eps

	$j = 1$	$j = 2$	...	$j = M$
$h = 0$	$G_0 = 1$	$G_0 = 1$	...	$G_0 = 1$
$h = 1$	$G_1(\mathbf{z}_1)$	$G_1(\mathbf{z}_2)$	...	$G_1(\mathbf{z}_M)$
$h = 2$	$G_2(\mathbf{z}_1)$	$G_2(\mathbf{z}_2)$	...	$G_2(\mathbf{z}_M)$
$h = 3$	$G_3(\mathbf{z}_1)$	$G_3(\mathbf{z}_2)$	...	$G_3(\mathbf{z}_M)$
$h = 4$	$G_4(\mathbf{z}_1)$	$G_4(\mathbf{z}_2)$	...	$G_4(\mathbf{z}_M)$

### 10.5.3 Algorytm GTM zrealizowany w Netlabie

#### Podstawowe kroki algorytmu

Algorytm GTM zrealizowany w Netlabie wykonuje następujące kroki:

- A Utworzenie podstawowej sieci GTM
- B Utworzenie pod-sieci RBFNET i GMMNET
- C Nadanie wartości początkowych sieci GTM
- D Wyznaczanie wag algorytmem EM, funkcja GTMEM
- E Wyznaczanie gęstości prawdopodobieństwa i ich charakterystyk: funkcje GTMPROB, GTMPOST, GTMMEAN, GTMLMODE.

Omówimy teraz po krótkce te podstawowe kroki:

.....

ad A). Utworzenie podstawowej sieci GTM. Sieć GTM jest tworzona za pomocą funkcji:

```
net=gtm(dim_latent, nlatent, dim_data, ncentres, rbfun);2
```

#### Znaczenia parametrów funkcji GTM:

dim\_latent:  $q$  – wymiar  $\mathcal{L}$ ;  
 nlatent:  $M$  – liczba punktów dyskretnych w  $\mathcal{L}$ ,  
 dim\_data:  $d$  – wymiar przestrzeni  $\mathcal{D}$ ;  
 ncentres:  $H$  – liczba centrów dla sieci RBF;  
 rbfun: rodzaj aktywacji neuronów warstwy ukrytej sieci RBF

#### Pola sieci GTM utworzonej przez funkcję net:

type	'gtm'
nin	dimension of data space $d$
dim_latent:	$q$ – wymiar $\mathcal{L}$
rbfnet	RBF network data structure
gmmnet	GMM data structure
X	sample of latent points from $\mathcal{L}$ , na razie puste (=[])

Jak widać, dwa pola sieci (struktury) GTM zawierają odrębne sieci typu RBF i GMM. Zostały one utworzone za pomocą rozkazów

```
net.rbfnet = rbf(dim_latent, ncentres, dim_data, rbfunc, 'linear');
```

oraz

```
net.gmmnet = gmm(dim_data, nlatent, 'spherical');
```

Sieć net.rbfnet tworzy pomost między przestrzeniami  $\mathcal{L}$  i  $\mathcal{D}$ . Sieć net.gmmnet (= mix) operuje w przestrzeni  $\mathcal{D}$ . Opisuje ona rozkład danych jako mieszaninę  $M$  składników Gaussowskich o sferycznej macierzy kowariancji. Rozkład ten jest wykorzystywany przez algorytm EM przy znajdowaniu estymatorów parametrów  $\mathbf{W}$  i  $\sigma$ .

.....

---

<sup>2</sup>Pomijamy tu dalsze parametry potrzebne przy określaniu tzw. hiperparametrów modelu Bayesowskiego, którego to modelu nie omawiamy

ad B). Obsada pod-sieci RBFNET i GMMNET, funkcja

`mix = gtmfwd(net)`. Zadaniem funkcji jest przekazanie aktualnej zawartości pola `net.X` do pod-sieci GMM. Dzieje się to za pomocą dwóch instrukcji:

```
net.gmmnet.centres = rbfwd(net.rbfnet, net.X);
mix = net.gmmnet;
```

Pole `net.X` zawiera dane próbkowe  $\mathbf{z}_j$ ,  $j = 1, \dots, M$  określające rozkład  $p(\mathbf{z})$  w przestrzeni  $\mathcal{L}$ . Dane te są określane oddzielnie za pomocą funkcji `net=gtmunit(...)` opisanej w następnym punkcie (C).

.....

ad C). Nadanie wartości początkowych sieci GTM Służy temu funkcja GTMINIT. Zadaniem tej funkcji jest dostarczenie do już utworzonej sieci `net` danych uczących (wektorów danych należących do przestrzeni  $\mathcal{D}$  oraz utworzenie punktów  $\mathbf{z}_i \in \mathcal{L}$ , oraz wybranie z nich centrów do sieci RBF.

Nagłówek funkcji GTMINIT:

```
net = gtmunit(net, options, data, sampType, varargin);
```

Znaczenie parametrów:

`net` – utworzona poprzednio sieć typu 'gtm',

`options` – jak w Netlabie, `options(7)` – patrz niżej,

`data` – dane uczące, rozmiaru  $N \times d$ ,

`sampType` – typ siatki, jaką ma tworzyć zbiór  $\{\mathbf{z}_i\} \in \mathcal{L}$ . Typ może być:

'regular': wtedy trzeba zadeklarować rozmiary siatki w parametrze `varargin`, np. dla  $q=2$ : na miejsce 'varargin' można podstawić `[10, 8]`, `[8,4]`

'uniform': punkty  $\{\mathbf{z}_i\}$  są wybierane losowo (`random`)  $\in [-1, 1]^q$

'Gaussian': punkty  $\{\mathbf{z}_i\}$  są wybierane z  $[(N(0, 1)/2)^q]$ . Aby określić automatycznie (tj. na podstawie próbki latent points parametr `sigma` funkcji Gaussowskiej, należy ustawić `options(7)=1`.

Parametr 'vargin' jest określany tylko wtedy, gdy `sampType='regular'` (należy wtedy podać `l_sample_size` – the number of latent points oraz `rbf_samp_size` – the number of RBF centres); w przeciwnym przypadku centra są określane przez funkcję RBFSETBF wywoływana we wnętrzu funkcji.

Liczba wygenerowanych punktów próbkowych z  $\mathcal{L}$  jest zapamiętana jako zmienna `nlatent` w polu `net.gmmnet.ncentres`.

Liczba centrów sieci RBF jest zapamiętana jako zmienna `nhidden` w polu `net.rbfnet.nhidden`.

.....

ad D). Wyznaczanie wag algorytmem EM, funkcja GTMEM

O algorytmie EM napisano kilka książek i mnóstwo prac ... .

Algorytm ten jest zaimplementowany jako funkcja:

```
[net, options, errlog] = gtmem(net, data, options).
```

Wagi są zapamiętane w `net.rbfnet.w2` i `net.rbfnet.b2`.

Błąd jest zapamiętany w `options(8)` jako ujemny logarytm z wiarygodności:  
`-sum(log(gmmprob(mix, x)));`.

.....

ad **E**). Wyznaczanie gęstości prawdopodobieństwa i ich charakterystyk. Są to funkcje:

GTMPROB – oblicza  $p(\mathbf{x}|\mathbf{z}, \mathbf{W}, \sigma)$ ,

GTMPOST – oblicza *responsibilities*  $R_{jx} = p(j|\mathbf{x}, \mathbf{W}, \sigma)$

GTMMEAN – oblicza *posterior mean*, GTMLMODE – oblicza *posterior mode*.

Potrzebne przy wizualizacji punktów w przestrzeni  $\mathcal{L}$ . Naszym celem jest odwzorowanie obserwowanych (w  $\mathcal{D}$ ) punktów  $\mathbf{x}_n$  na odpowiednie punkty 'z' w  $\mathcal{L}$ . Jednak – posługując się teorią Bayesowską, otrzymujemy cały rozkład  $p(\mathbf{z}|\mathbf{x}_n)$ . Potrzebujemy jakiejś sumarycznej informacji. Może ona zostać dostarczona przez wartość oczekiwaną lub wartość modalną rozkładu  $p(\cdot|\cdot)$ .

Wartość oczekiwana  $\langle \mathbf{z}|\mathbf{x}_n, \tilde{\mathbf{W}}, \tilde{\sigma} \rangle$  może być myląca.

Wartość modalna jest obliczana jako  $j_{max} = arg \max_j R_{jn}$ .

### Dla praktyka

W przedstawionym algorytmie użytkownik określa przede wszystkim **liczbę** i **typ** funkcji bazowych potrzebnych do konstrukcji sieci RBF. Parametry tej sieci kontrolują gładkość funkcji mapującej  $\mathcal{L} \rightarrow \mathcal{D}$ . W szczególności, przy Gaussowskiej funkcji bazowej, ważny jest stosunek  $\sigma/s$ , gdzie  $s$  oznacza odległości (spacing) między sample points in  $\mathcal{L}$ . Powiększenie  $M$ , czyli liczby latent space sample points, może tylko polepszyć jakość modelu, np. przyczynić się do dokładniejszego obliczenia rozkładu  $p(\mathbf{x}|\mathbf{W}, \sigma)$  – lecz wzrasta wtedy złożoność i koszt obliczeń.

Ważny jest punkt startowy. Propozycja: Rozpocząć szukanie  $\mathcal{L}$  poprzez zastąpienie całej przestrzeni  $\mathcal{D}$  podprzestrzenią liniową rozpiętą na  $q$  pierwszych składowych głównych.

Wtedy określamy błąd

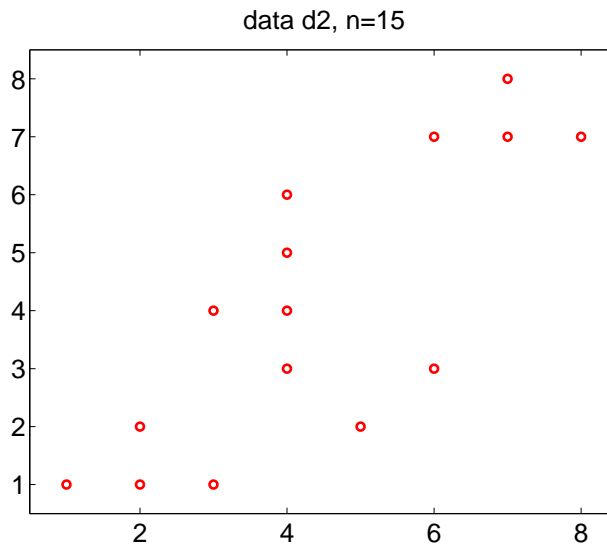
$$E = \frac{1}{2} \sum_{j=1}^M \left\| \underbrace{\mathbf{W}G(\mathbf{z}_j)}_{\mathbf{y}(\mathbf{z}_j; \mathbf{W})} - \mathbf{U}\mathbf{z}_j \right\|,$$

gdzie  $\mathbf{U}$  zawiera  $q$  pierwszych, odpowiednio przeskalowanych wektorów własnych macierzy kowariancji obserwowanych danych.

### 10.5.4 Przykłady zastosowań

#### Przykład 1. Dane 'd2' z sekcji 7

Dane 'd2' są zawarte w tablicy wymiaru  $15 \times 2$ , tj.  $N = 15$  osobników, charakteryzowanych przez  $d = 2$  cechy.



Rysunek 10.8: Dane  $d2$ ,  $n=15$ ,  $d=2$ . plik *sub10/gtmMy1d2.eps*

Dalsza analiza jest wzorowana na module DEMGTM1 pakietu Netlab. Dane chcemy odwzorować na prostą ( $q = 1$ ).

Natomiast funkcję gęstości rozkładu w  $\mathcal{D}$  przybliżamy mieszaniną  $M = 9$  rozkładów Gaussowskich.

Rezultat aproksymacji jest pokazany na rysunku 10.9.

Zauważmy, że znalezione odwzorowanie nie odzwierciedla zróżnicowania między grupami danych.

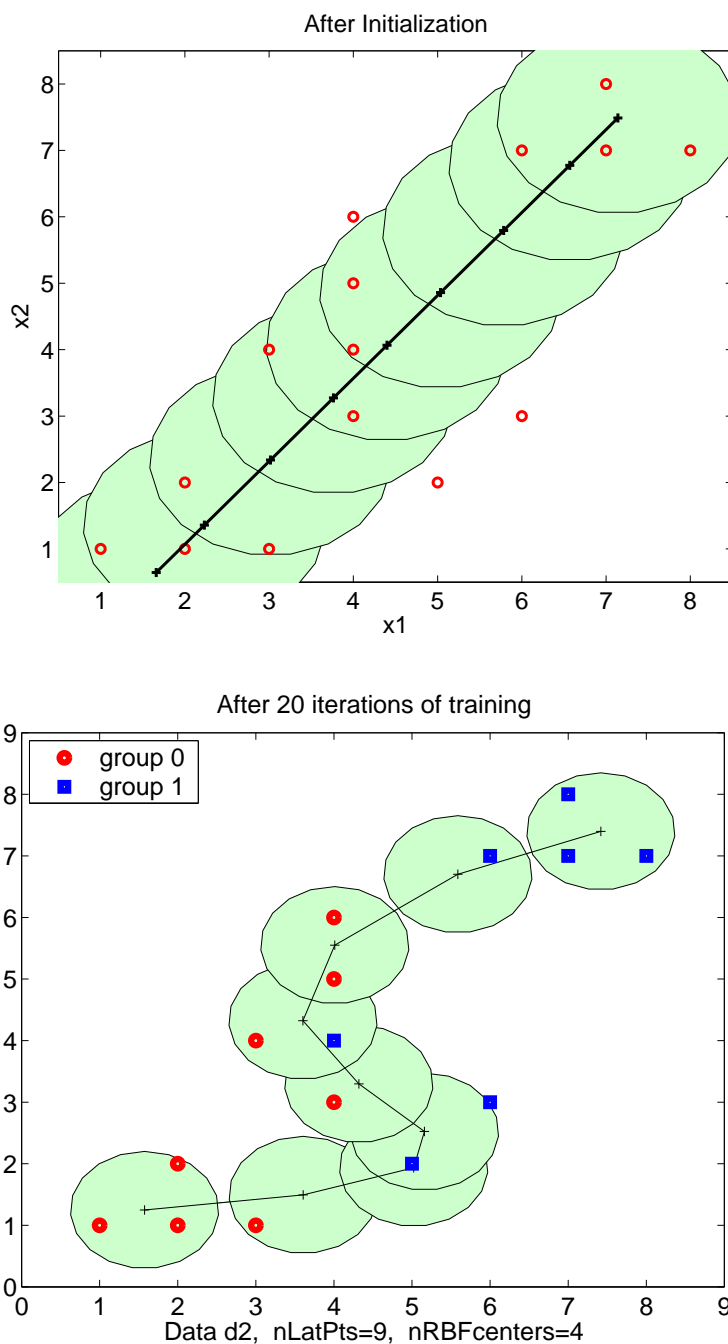
A oto fragmenty skryptu wykonującego obliczenia (pierwotny: DEMGMTM1):  
 %%Generate and plot (along with the data) an initial GTM model

```

    % Preliminaries:
numLatentPoints = 9; % = nb of mix.centers
numRbfCentres = 4;
net = gtm(1, numLatentPoints, 2, numRbfCentres, 'gaussian');
iters=20; pauz=0.4;
options = zeros(1, 18); options(7) = 1;
xcir = [0:(2*pi)/(20-1):2*pi]'; % Generate a unit circle figure
unitC = [sin(xcir) cos(xcir)]; % to be used for plotting
    % Now initialize the network and plot it
net = gtminit(net, options, data, 'regular', numLatentPoints,numRbfCentres);
mix = gtmfwd(net);
h1=figure(1); plot(mix.centres(:,1), mix.centres(:,2), 'g');
hold on;
for i=1:numLatentPoints
    c = 2*unitC*sqrt(mix.covars(1)) + [ones(20,1)*mix.centres(i,1) ...
        ones(20,1)*mix.centres(i,2)];
    fill(c(:,1), c(:,2), [0.8 1 0.8]);
end
plot(data(:,1), data(:,2), 'ro');
plot(mix.centres(:,1), mix.centres(:,2), 'k+');
plot(mix.centres(:,1), mix.centres(:,2), 'k');
hold off
    % Train the GTM and plot it along with the data
options = foptions;
options(1) = -1; % Turn off all warning messages
options(14)=iters;
for j = 1:iters
    [net, options] = gtmem(net, data, options);
    mix = gtmfwd(net);
end;
h2=figure(2);
plot(mix.centres(:,1), mix.centres(:,2), 'g');
hold on;
for i=1:numLatentPoints % tyle jest mix.centers
    c = 2*unitC*sqrt(mix.covars(1)) + [ones(20,1)*mix.centres(i,1) ...
        ones(20,1)*mix.centres(i,2)];
    fill(c(:,1), c(:,2), [0.8 1.0 0.8]);
end
plot(data(:,1), data(:,2), 'ro');
plot(mix.centres(:,1), mix.centres(:,2), '-k+');
axis([data_min-0.5*2 data_max+0.5*2 data_min-0.5*2 data_max+0.5*2]);
title(['After ', int2str(iters), ' iterations of training'])
hold off

```





Rysunek 10.9: Dane  $d_2$ ,  $n=15$ ,  $d=2$ , aproksymowane mieszaniną Gaussowską o  $M=9$  składnikach. **Góra:** Punkty danych i inicjalizacja modelu GTM/GMM dla  $\text{dim\_latent}=1$ . **Dół:** Stan po zakończeniu iteracji i osiągnięta aproksymacja za pomocą mieszaniny 9-cio składnikowej. pliki `sub10/gtmMy1a.eps` i `sub10/gtmMy1b.eps`

### 10.5.5 Przykład 2 – dane irys

Dane 'iris' są cztero-wymiarowe, tak więc  $d = 4$ . Chcemy odwzorować te dane na płaszczyźnie, czyli przyjmujemy  $q = 2$ . Wszystkich punktów danych jest  $n = 150$ .

Zakładamy regularną strukturę punktów próbkowych  $\mathbf{z}_j \in \mathcal{L}$ . Przyjmujemy, że punkty próbkowe mają leżeć na siatce  $[12 \ 12]$ , a centra sieci RBF na siatce  $[4 \ 4]$ . Tak więc deklarujemy:

```
data=iris; dim_data = size(data,2);
dim_latent = 2; latent_shape = [12 12]; % wymiar i kształt punktów próbkowych
nlatent = prod(latent_shape); % liczba punktów probkowych
rbf_shape=[4 4]; n_rbf = prod(rbf_shape); % kształt i liczba centrow sieci rbf
```

Następnie tworzymy sieć RBF i inicjujemy jej wartości:

```
net = gtm(dim_latent, nlatent, dim_data, n_rbf, 'gaussian', 0.1);
options = foptions;
options(1) = -1;
options(7) = 1; % Set width factor of RBF
net = gtmnit(net, options, data, 'regular', latent_shape, rbf_shape);
```

Teraz trenujemy utworzoną sieć 'net'. Celem trenowania jest wyznaczenie parametrów  $\mathbf{W}$  i  $\sigma$ . Następnie wyznaczamy wartości oczekiwane (means) i wartości modalne (modes) rozkładów a posteriori  $p(j|\mathbf{x}_i, \mathbf{W})$  – dla każdego obserwowanego wektora danych  $\mathbf{x}_i$ :

```
options = foptions;
options(14) = 50; % nb of iterations
options(1) = 0; % without printing error after each iteration, altern. =1
[net, options] = gtmem(net, data, options);
means = gtmlmean(net, data); modes = gtmlmode(net, data);
```

Wyznaczone w ten sposób wartości średnie (lub modalne) mogą być wykreślone, np.:

```
plot(means(:,1), means(:,2), 'r');
```

W ten sposób otrzymujemy wizualizację obserwowanych wektorów danych (punktów w  $\mathcal{D}$ ) na płaszczyźnie. Wizualizacja ta pokazuje *topologię* punktów danych – *nie* pokazuje jednak ich *odległości*.

Aby pokazać odległości – stosujemy tzw. 'Magnification factor', wynikający z analizy odwzorowania  $\mathbf{y}(\mathbf{z}; \mathbf{W})$  metodami geometrii różniczkowej:

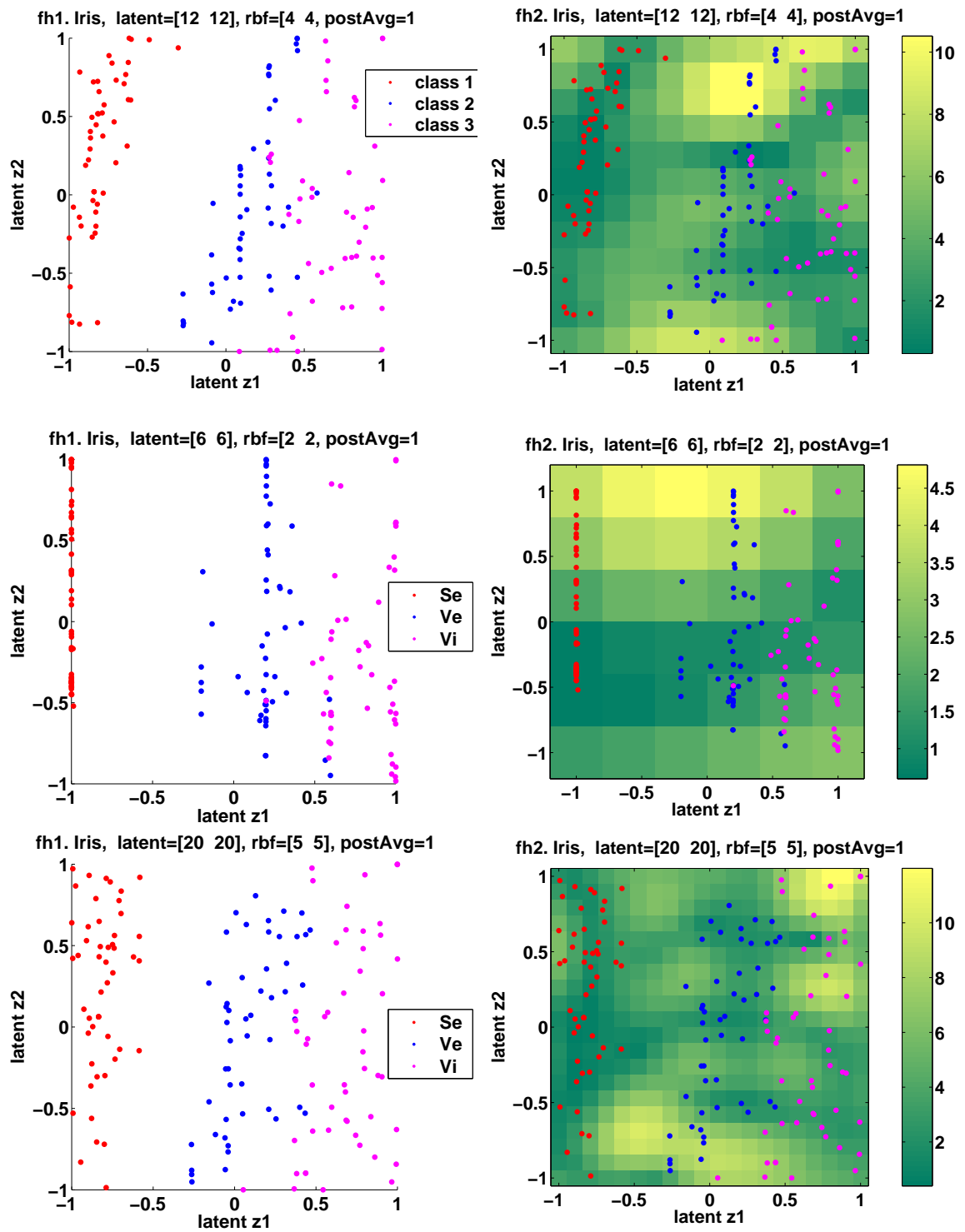
```
mags = gtmag(net, net.X); % Reshape into grid form
Mags = reshape(mags, fliplr(latent_shape));
imagesc(net.X(:, 1), net.X(:,2), Mags);
colormap(summer); colorbar % cool, 1-bone, summer
```

Sporządziliśmy w ten sposób rysunki, które są pokazane dalej. Przy palecie colormap **summer** ciemniejsze kolory sugerują bliskość punktów leżących w zacienionych obszarach.

Pokazujemy 3 pary rysunków dla danych 'iris' sporządzone dla następujących wartości `latent_shape` i `rbf_shape` :

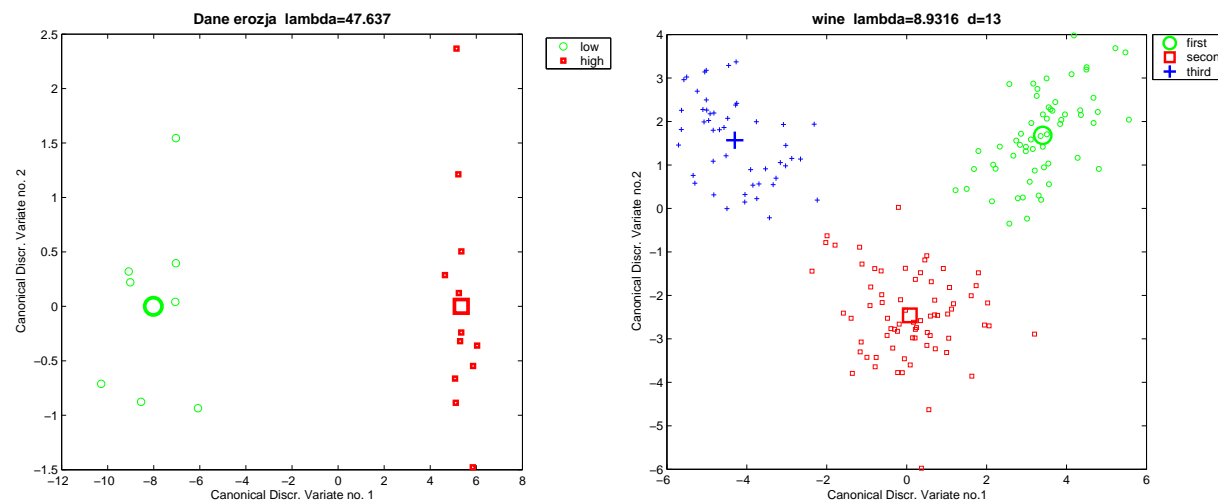
```
[12 12], [4 4], [6 6], [2 2] i [20 20], [5 5].
```

Lewa strona rysunków pokazuje tylko wizualizację punktów indywidualnych z zaznaczonymi gatunkami irysa; prawa strona pokazuje również zacieniowanie wynikające z zastosowania techniki 'Magnification Factor'.



## 10.6 Kanoniczne funkcje dyskryminacyjne

Kanoniczne funkcje dyskryminacyjne zostały opisane w sekcji 7 'Notatek'. Teoria jest opisana np. w książce Lachenbrucha [7].



Rysunek 10.10: Lewa: Wizualizacja 2 grup na przykładzie danych 'lowHi' przedstawiających niski i bardzo wysoki poziom erozji, plik cand2.eps. Prawa: Wizualizacja 3 grup na przykładzie danych 'wine', plik gtmpara5/candwine.eps

## Literatura

- [1] Juha Vesanto, SOM-based data visualization methods. *Intelligent Data Analysis*, 3 (2) 1999, 111–126.
- [2] Juha Vesanto, J. Himberg, E. Alhoniemi, J. Parhankangas, *SOM Toolbox for Matlab 5*. Som Toolbox Team, Helsinki University of Technology, Finland, Libella Oy, Espoo 2000, 1–54. <http://www.cis.hut.fi/projects/somtoolbox/>
- [3] S. Osowski, *Sieci neuronowe w ujęciu algorytmicznym*. WNT W-wa 1996.
- [4] Sammon, J.W.Jr. (1969). A nonlinear mapping for data structure analysis. *IEEE Trans. on Computers*, C-18(5), 401–409, May 1969.
- [5] Johan Frederic Marcus Svensen, GTM: The Generative Topographic Mapping. PhD dissertation. Aston Iniversity, Birmingham, Report NCRG/98/024, April 1998.
- [6] Ian Nabney, *Netlab: Algorithms for Pattern Recognition*. Springer 2001. Seria: Advances in Pattern Recognition. ISBN 1–85233–440–1.
- [7] Lachenbruch P.A., *Discriminant Analysis*. Haffner Press, McMillan P.C. Inc., 1975.
- [8] Wendy and Angel Martinez, *Computational Statistics Handbook with MATLAB*. CRC Press, 2001.